

北海道大学 工学部○学生員 伊藤千浩
 北海道大学 工学部 正員能町純雄
 北海道大学 工学部 正員角田与史雄

1. まえがき

本報告は床版において、ひびわれの有無による振動の異いのようすを、まず固有円振動数によって、比較を行ない、さらに床版上に移動集中荷重が作用した時の振動について比較してみようとするものである。従って、本報告におけるポイントは、実際のひびわれをどのようなモデルを用いて表わすか、あるいは数学的にどう表わすか、ということにあると思われるが、これらのことについて、以下、説明していきたいと思う。

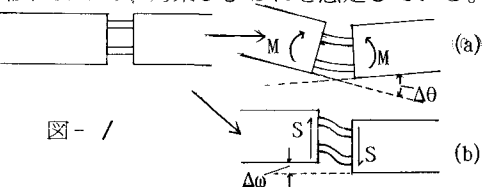
2. 解析方法

2-1 ひびわれ 及び 固有円振動数について

解析にあたっては有限帯板法 (Finite strip method) を用いたが、まずひびわれの取りあつかいについて説明すると、今、コンクリート床版上にひびわれが生じている状態で版が振動しているとすると、図-1のような状態が生じると考えられる。(a)では、ひびわれの両端にモーメントMが作用することによって上側鉄筋は、それ自身の縮みと両側コンクリートへのくい込み、下側鉄筋は、それ自身の伸びと両側コンクリートからの抜け出しにより、両側のたわみ角の間に $\Delta\theta$ の差が生ずることを、(b)では、ひびわれの両端にセン断力が作用することにより、鉄筋に曲げモーメントが作用し、その結果、ひびわれの両側のたわみの間に $\Delta\theta$ の差が生ずることを表わしている。そこで、以上の関係が次式で表わされると仮定する。又、図-1より、このモデルは曲げひびわれよりも、拘束ひびわれを想定している。

$$M = K_1 \Delta\theta, S = K_2 \Delta\omega \quad \dots \quad (1)$$

さて、今、図-2の帯板要素において両端における変位ベクトルを $\{\delta\}_e$ 、断面力ベクトルを $\{f\}_e$ 、要素の剛性マトリックスを $[K]_e$ 、質量マトリックスを $[M]_e$ 、固有振動数を p とすると、



$$\{f\}_e = [K]_e \{\delta\}_e + [M]_e \{\dot{\delta}\}_e \sin pt \quad \dots \quad (2)$$

次に、(2)を版全体に重ね合わせていくことを考えるが、クラックを有する帯板要素間の連続条件として、(1)式を用い、他のところでは次式を用いる。

$$\begin{aligned} S_{r,r-1} + S_{r,r+1} &= 0, \quad \omega_{r,r-1} = \omega_{r,r+1} \\ M_{r,r-1} + M_{r,r+1} &= 0, \quad \theta_{r,r-1} = \theta_{r,r+1} \end{aligned} \quad \dots \quad (3)$$

又、両端を単純支持とすると、境界条件は両端において

$$M=0, \omega=0 \quad \dots \quad (4)$$

最終的に系全体の方程式は次のようになる。

$$\{0\} = [[K] - p^2 [M]] \{\delta\} \quad \dots \quad (4)$$

つまり、 $\{\delta\} \neq \{0\}$ より、 $[[K] - p^2 [M]] = 0$ の固有方程式となり、 p^2 がその固有値として求まり、振動形が、固有ベクトルとして求まることになる。

2-2 走行荷重がある場合

今、重さ P_0 の集中荷重が速さ V_0 で床版上を移動したとする。(図-3 参照) この時、 r 点に作用する力を次のように定める。

$$P_r(t) = P_0 \times \frac{V_0 t - 1}{b}, \quad P_r(t) = P_0 \times \frac{(1+2b) - V_0 t}{b}, \quad P_r(t) = 0$$

$$(1 < V_0 t \leq 1+b) \quad (1+b < V_0 t \leq 1+2b) \quad (\text{elsewhere})$$

この強制振動の解析にあたっては、いわゆる振動形解析法を用いたので、最終的にはデュアメルの積分を解くことにより基準座標が求まり、これと基準関数との積により任意の時間における各点の変位が求まることになる。

3 . 数値計算 (HITAC-M200H を使用)

計算にあたっては、次に述べる値を用いた。

床版の寸法：縦 $6.0m$ 、横 $20.0m$ 、厚さ $0.2m$ で、20等分

(すなわち一つの帯板要素は $6.0m \times 1.0m \times 0.2m$)

ヤング係数 : $E = 3.0 \times 10^9 (\text{kg} / \text{m}^2)$, ポアソン比 : $1/6$, $P_0 = 10.0 \text{ton}$, $V_0 = 15.0 (\text{m} / \text{sec})$,

$K_1 = 2.0 \times 10^6 (\text{kg m} / \text{rad})$, $K_2 = 2.0 \times 10^6 (\text{kg} / \text{m})$, 四辺単純支持とする。

3 - 1 固有円振動数について

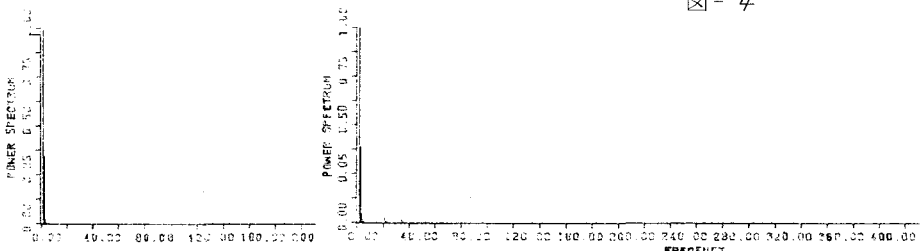
Crackの個数	0 個	一 個	二 個
Crackの位置(左端より -)	—	10m	8m
第一次固有円振動数	60.0096	59.7511	59.7138
第二次固有円振動数	74.8496	72.1850	72.7186
第三次固有円振動数	99.5674	97.3643	94.6624
			92.6333 88.6323

3 - 2 走行荷重がある場合

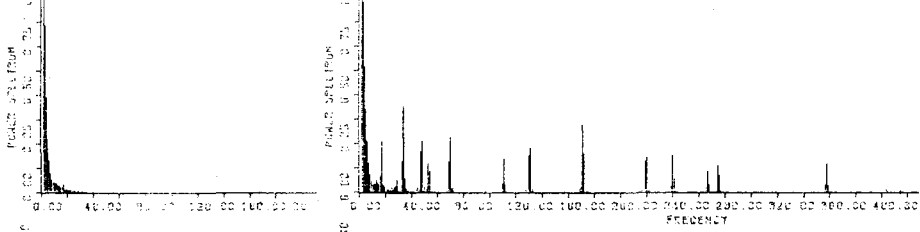
図-4は中央点における、たわみ、セン断力、曲げモーメントの時間的な変化を入力として、高速フーリエ変換(F.F.T)を用いて求めたパワースペクトルであり、左側はひびわれがない場合、右側は左端より8mのところにひびわれがある場合である。(最大値を1とした)

図-4

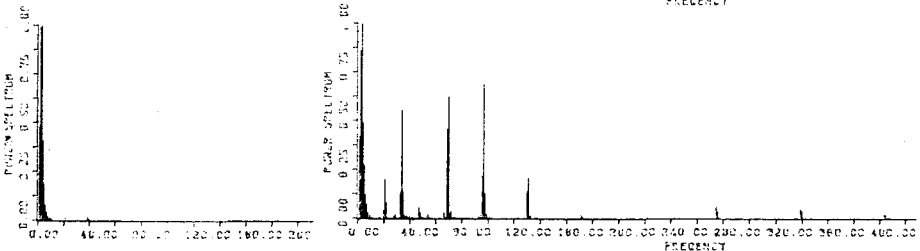
たわみ



セン断力



曲げ
モーメント



4 . あとがき

固有円振動数については拘束ひびわれの有無による大きな差異は見られない。又、図-4のパワースペクトル図を見ると、たわみについては拘束ひびわれの影響をほとんど受けていないが、モーメント、セン断力はその影響を受けて、高次の波が現われてくるのが見られる。

参考文献

Y.K.CHEUN : Finite strip method in structural analysis
小坪 清真：土木振動学

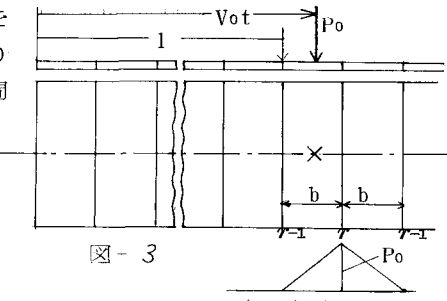


図-3